

Ослабление потока быстрых нейтронов различных энергетических групп в зависимости от толщины и диаметра свинцового барьера:

а — 0,8—1,4 МэВ; б — 1,4—2,5 МэВ;
в — 2,5—4 МэВ; г — 4—6,5 МэВ.
Диаметр пучка: ● — 70 см;
○ — 30 см; ▲ — 15 см; ▲ — 3 см;
— — расчет по программе
R0Z (условия бесконечной
барьерной геометрии).

ЛИТЕРАТУРА

- С. Ф. Дегтярев и др. «Атомная энергия», 21, 392 (1966).
- В. А. Дуллин и др. «Приборы и техн. эксперим.», № 2, 35 (1961).

Получена зависимость фактора накопления потока рассеянных нейтронов с энергией $E \geq 1$ МэВ от диаметра и толщины образцов.

(294/5118. Статья поступила в Редакцию 21/X 1968 г., аннотация — 16/XII 1968 г. Полный текст 0,25 а. л., 3 рис., 5 библиографических ссылок.)

Угловые и энергетические распределения потока быстрых нейтронов за средами с ограниченными поперечными размерами

С. Ф. ДЕГТЯРЕВ, В. В. ТАРАСОВ, В. К. ТИХОНОВ, С. Г. ЦЫПИН

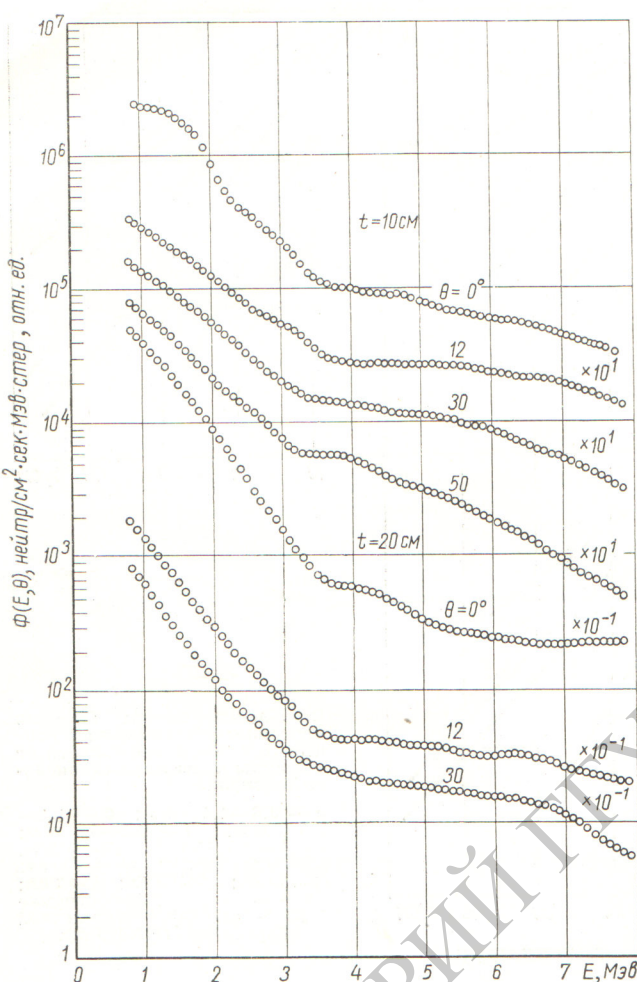
УДК 621.039.538:539.125.52

Приведены результаты измерений угловых распределений потока быстрых нейтронов с энергией $E \geq 1$ МэВ и энергетических распределений в интервале 0,8—8 МэВ нейтронов, выходящих из цилиндрических барьеров (Pb, Fe, LiH и H₂O) диаметром 16 см и толщиной t , равной 10; 20; 30 см, под разными углами. Использовался плоский монодиректальный источник нейтронов со спектром реактора [1].

Измерялся средний поток нейтронов, выходящий с «видимого» пятна торцовой поверхности исследуемого барьера. Измерения проводились в диапазоне углов

$\theta = 0 \div 50^\circ$. Детекторы нейтронов описаны в работах [1, 2].

Угловые и энергетические распределения за барьером из железа представлены на рисунке. С увеличением толщины образца и угла θ происходит значительное «смягчение» первоначального спектра нейтронов за счет неупругого рассеяния. Как и в случае бесконечной среды [3], угловые распределения в интервале углов $10^\circ < \theta < 50^\circ$ можно описать выражением вида $\exp[-\theta/\theta_0(E)]$, причем константа $\theta_0(E)$ слабо зависит от толщины образца в измеренном диапазоне толщин.



Спектры нейтронов под различными углами за железным барьером диаметром 16 см (диаметр пучка 15 см).

Результаты измерений угловых распределений потока быстрых нейтронов с энергией $E \geq 1 \text{ MeV}$ для углов $10^\circ \leq \theta \leq 50^\circ$ приведены в таблице (диаметр образцов 16 см).

Экспоненциальные угловые коэффициенты θ_0 ($E \geq 1 \text{ MeV}$)

Материал	Плотность, $\text{г}/\text{см}^3$	Толщина образца, см	θ_0 , градусы	
			ограниченный барьер	бесконечная барьерная геометрия
Pb	11,3	14; 30	19; 17	~ 60
Fe	7,8	10; 20	21; 20	56; 48
LiH	0,5	10; 20	23; 22	28 [1]
H_2O	1,0	10; 20	21; 20	30 [1]

Для железа и свинца существует более сильное по сравнению с водой и гидридом лития различие в угловом распределении в условиях бесконечной барьерной геометрии и двумерной геометрии, что связано с большей утечкой быстрых нейтронов.

(№ 295/5117. Статья поступила в Редакцию 21/X 1968 г., аннотация — 16/XII 1968 г. Полный текст 0,3 а. л., 3 рис., 1 табл., 5 библиографических ссылок.)

ЛИТЕРАТУРА

1. С. Ф. Дегтярев и др. «Атомная энергия», 21, 392 (1966).
2. В. А. Дулин и др. «Приборы и техн. эксперим.», № 2, 35 (1961).
3. С. Ф. Дегтярев и др. «Атомная энергия», 24, 372 (1968).

Измерение сечений взаимодействия нейтронов с воздухом в интервале энергий 0,3—5,0 Мэв

В. А. ТЕРЕХИН, В. А. КРЫЖАНОВСКИЙ, Л. В. ПОРЕНЦКИЙ

УДК 539.125.5.17

Усредненные сечения взаимодействия энергетических групп нейтронов $\bar{\sigma}_i = \frac{1}{\Delta E_i} \int \sigma(E) dE$ рассчитывались из кривой сечения взаимодействия нейтронов $\sigma(E)$, и их точность, зависящая от неопределенности хода сечений, в большинстве случаев 5—10%.

В данной работе измерялись спектры нейтронов критической сборки U^{235} —Cu в диапазоне энергий 0,3—5,0 Мэв после прохождения слоев воздуха толщиной 40, 167, 370 м и из спектров рассчитывались усредненные сечения $\Sigma(\bar{E})$ по формуле

$$\Sigma(\bar{E}_i) = \frac{1}{L} \ln \frac{\int_{\Delta E_i} N_L(E) dE}{\int_{\Delta E_i} N_0(E) dE},$$

где $N_0(E)$ — исходный спектр; $N_L(E)$ — спектр нейтронов, прошедших без взаимодействия $L(m)$ вещества.

Полученные данные сравнивались со средними сечениями, вычисленными из кривой сечения $\sigma(E) = 0,412\sigma_N + 0,11\sigma_0$ * по формуле

$$\Sigma_{\text{расч}}(E_i) = \frac{\int_{\Delta E_i} dE \int N_0(E') e^{-n\sigma L} R(E', E) dE'}{\int_{\Delta E_i} N_0(E) dE},$$

где $R(E', E) \sim e^{\frac{(E-E')^2}{2\sigma^2}}$ — функция разрешения спектрометра; n — число ядер вещества в 1 см³.

* σ и σ_0 приведены в Приложении к статье.